



**Итоги научной деятельности  
Шатурского филиала ОИВТ РАН  
в 2014 году**

Директор ШФ ОИВТ РАН,  
к.ф.-м.н. Шурупов Алексей Васильевич

# **Основные направления исследований и разработок ШФ ОИВТ РАН**

## **По темам госбюджета**

**(I) Исследования по созданию мощных генераторов импульсов тока и излучения для проверки электромагнитной устойчивости энергетических систем**

**(II) Расчетно-экспериментальные исследования плазмодинамических ускорителей макротел:**

Исследование коаксиальных ускорителей с целью оптимизации их характеристик и создания мобильного метательного устройства с источником энергии на основе ВМГ.

Исследование линейных электродинамических ускорители с целью получения скоростей метания свыше 20 км/с.

Получение экспериментальных данных о процессах разрушения различных мишеней при высокоскоростном ударе.

## **По договорам**

**(III) ) Разработка технологии и создания источника питания на основе ВМГ для сжатия замагниченной плазмы.**

**(IV) Разработка прибора непрерывного контроля влажности бумажно-масляной изоляции. (VI) Разработка токоограничителей на основе взрывных коммутаторов.**

**(V) Выполнение НИР по гос. контракту № 6628.**

**За 2014 год разработаны, изготовлены и испытаны  
макетные образцы мегаджоульных импульсных генераторов**

**Взрывомагнитные генераторы**

**14 генераторов 3-х модификаций с энергией в нагрузке до 400 кДж  
Испытано 10 генераторов**

**6 каскадных ВМГ 2-х модификаций с энергией в нагрузке 4 МДж**

**Емкостные накопители**

**напряжением 30 кВ с энергозапасом 60 кДж – 2 шт**

**напряжением 5 кВ с энергозапасом 0,5 МДж**

**напряжением 6 кВ с энергозапасом 0,9 МДж**

**напряжением 6 кВ с энергозапасом 1,8 МДж**

# (II) Математическое моделирование

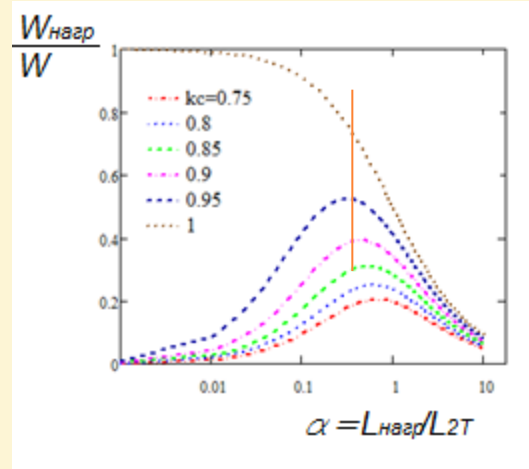
## I этап

Расчет эквивалентной схемы замещения для эффективной ~ 50% передачи энергии ВМГ через ИТ в нагрузку (при  $k_c \sim 0,95$ ),  $k_{TP} \sim 10$

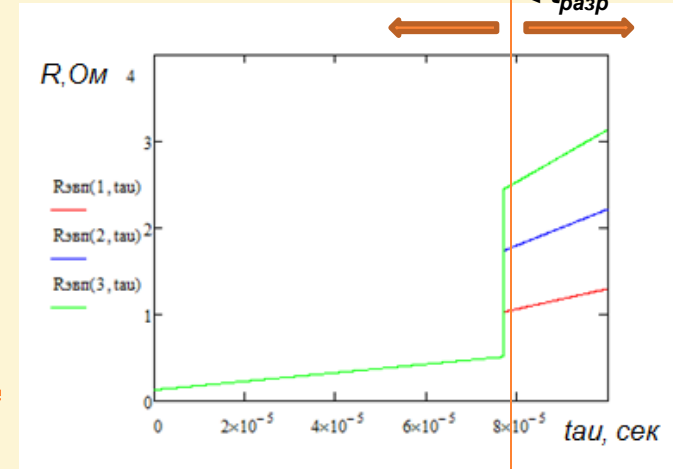
$$L_{\text{эвб}} = L_{2T} + L_{\text{нагр}} - \frac{M^2}{L_{1T}}, \quad M = k_c \sqrt{L_{1T} L_{2T}}$$

$$R_{\text{эвб}}^{\text{ЭВП}} = (R_{\text{эвб}}^{\text{ЭВП}}(t) + \frac{\partial R(t)}{\partial t} \cdot t) \frac{M^2}{L_{1T}^2}$$

$$L_{\text{эвб}} \cong 15,6 \text{ мкГн}, \quad R_{\text{эвб}} \cong 5 \rightarrow 240 \text{ Ом}$$



I-я модель:  $\tau < t_{\text{ВМГ}}$     II-я модель:  $t_{\text{ВМГ}} < \tau < t_{\text{разр}}$



Темп роста сопротивления в конце импульса ВМГ достигает десятков КОм/с

## II-й этап - до разрыва ЭВП, $T_{\text{хар}} \approx t_{\text{ВМГ}} \sim 70-100 \text{ мкс}$

Передающая линия замещается эквивалентными цепями с сосредоточенными параметрами

Количество и сечение проволочек ЭВП из меди определяется из интеграла действия тока в нагрузке

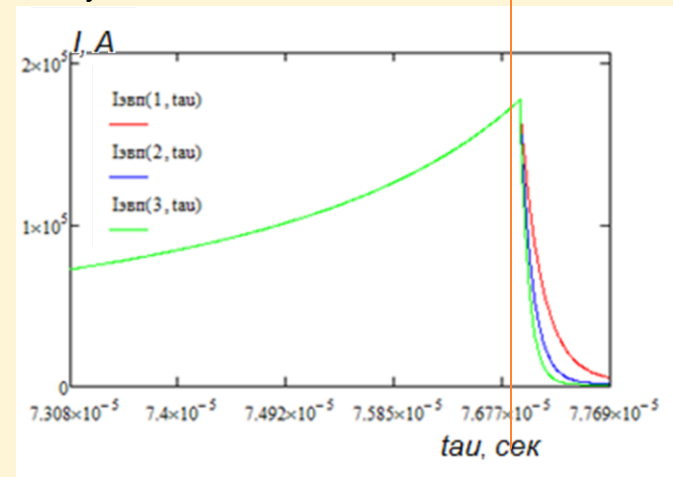
$$NP \cdot \pi \cdot d^2 / 4 = \sqrt{\frac{\int I^2(t) dt}{h_c}}, \quad NP \sim 100, \quad d \sim 200 \text{ (33) мкм}$$

## III этап – разрыв ЭВП,

Передающая линия замещается цепью с распределенными параметрами для вычисления напряженности электрического поля и длины ЭВП.

$$E_{\text{max}} \sim A \frac{\exp(-\frac{B}{d \cdot I^2})}{\sqrt{d}}, \quad \text{где } A = 10E+4, \text{ В/м}^{0,5}, \quad B = 2,2E+18, \text{ А}^2/\text{м}^3$$

$$U_{\text{ЭВП}} \sim 2,2 \text{ МВ}, \quad E_{\text{max}} \sim 340 \text{ кВ/м}, \quad l_{\text{ЭВП}} \sim 6,4 \text{ м}$$

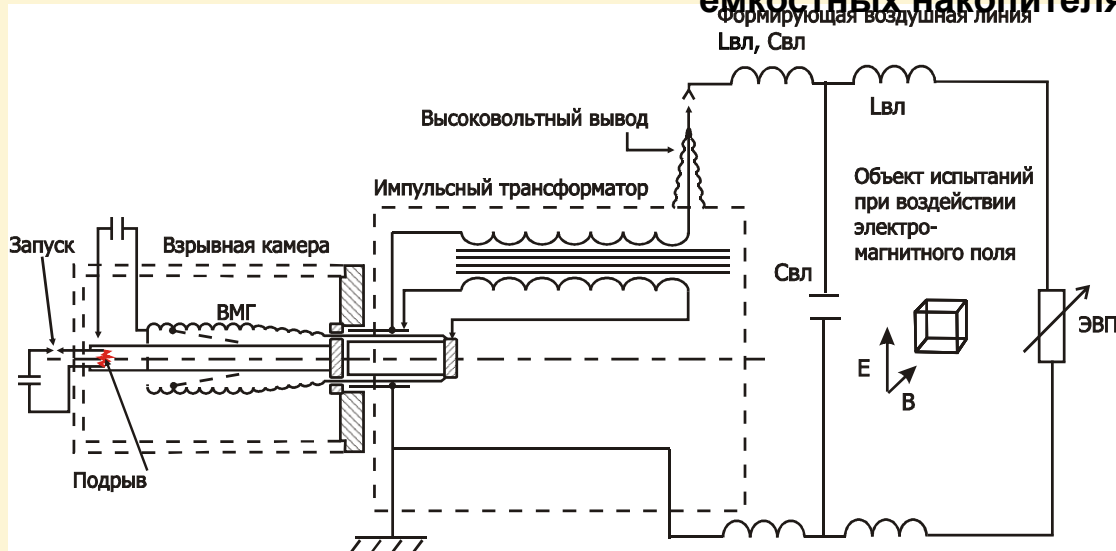


Импульс тока в нагрузке во время работы ВМГ и после разрыва, декремент тока ~ 4 десятилетия нс

# (II) Исследования по созданию мощных генераторов импульсов тока и излучения для проверки электромагнитной устойчивости энергетических систем/Этап 2014 года

Разработка и экспериментальное исследование новых типов мощных генераторов быстронарастающих импульсов тока, базирующихся на взрывомагнитных генераторах и емкостных накопителях

## емкостных накопителях



Планируется создание передвижной системы в контейнерном исполнении предназначенной для проверки (ПСП) ЭМУ стационарных объектов

### Характеристики передающей формирующей линии:

Объем:  $\sim 50\text{ м} \times 20\text{ м} \times 10\text{ м}$

Удельная индуктивность ФЛ  $\sim 0,235\text{ мкГн/м}$

Удельная емкость ФЛ  $\sim 47\text{ пФ/м}$

Волновое сопротивление  $\sim 70\text{ Ом}$

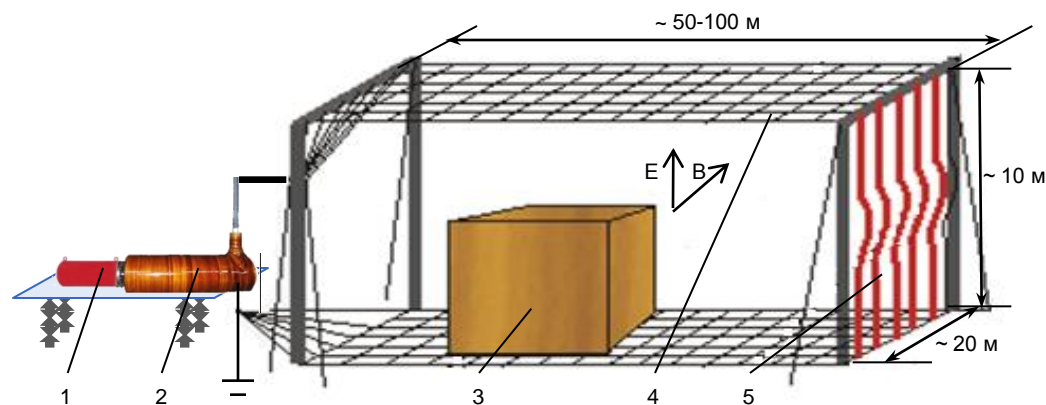
### Параметры ИТ:

$L_{1Т} \sim 0,4\text{ мкГн}$ ,  $L_{2Т} \sim 40\text{ мкГн}$ ,  $k_{Тр} \sim 10$ .

### Параметры нагрузки:

$L_{нагр} \sim 117\text{ мкГн}$ ;  $R_{нагр} \sim 0,065\text{ до } 5,5\text{ Ом}$

Лабораторный стенд на основе взрывной камеры для испытаний ВМГ – прообраз ПСП ЭМУ



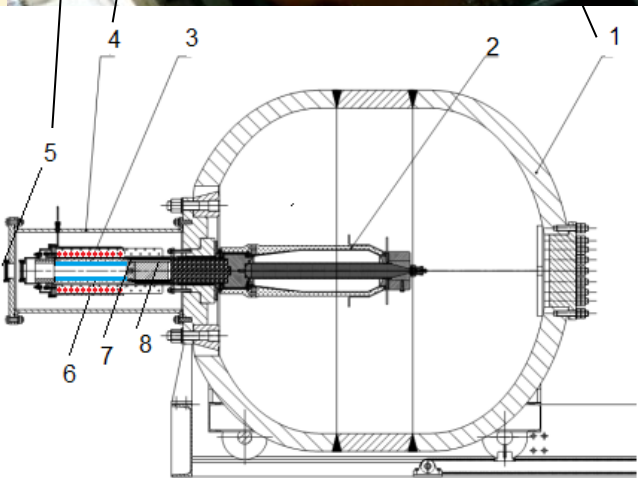
1 – Взрывная камера с генератором токов на основе ВМГ, 2 – импульсный трансформатор (ИТ), 3 – испытываемый объект,

4 – формирующая линия, 5 – электровзрывные прерыватели



- Максимальный вес заряда в тротиловом эквиваленте - 5 кг
- Габариты и вес: 1920 × 810 мм; 2800 кг

# (IV) ВМГ для малогабаритного источника тока для сжатия замагниченной плазмы



- 1- взрывная камера (BK)
- 2 – ВМГ (внутри BK),
- 3 - модуль метаемой оболочки (МО) внутри защитной камеры (4)
- 5 - окно для диагностики
- 6 - катушка внешнего магнитного поля
- 7- внешний электрод
- 8 - внутренний электрод

Выходные характеристики источника

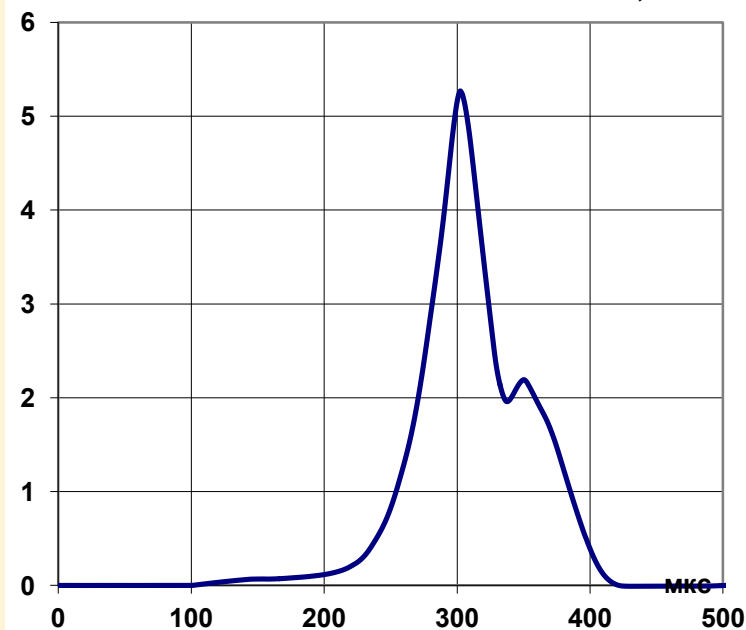
Начальная энергия ВМГ, кДж 15 - 50

Максимальное значение тока в нагрузке (МО), МА 8,0

Максимальное напряжение на нагрузке, кВ  
20,0

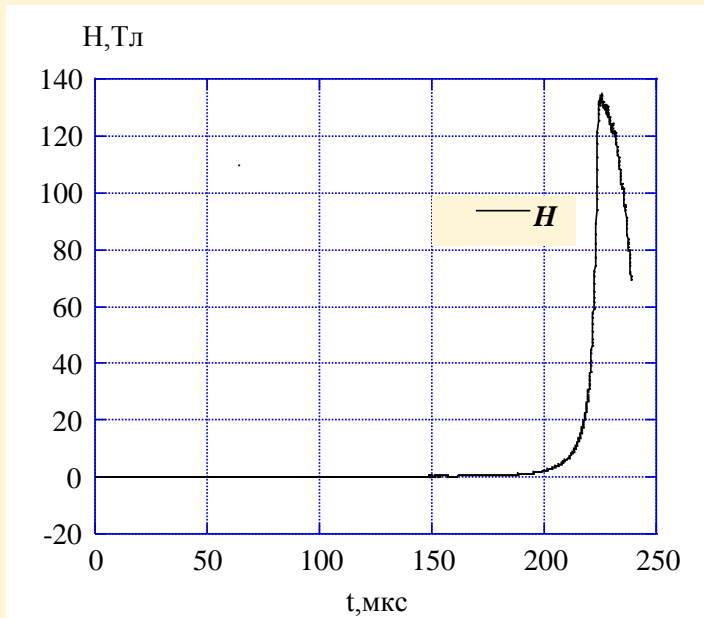
Магнитная энергия в нагрузке (без учёта изменения индуктивности) при работе ВМГ, МДж  
2,0

Полный ток ВМГ, МА

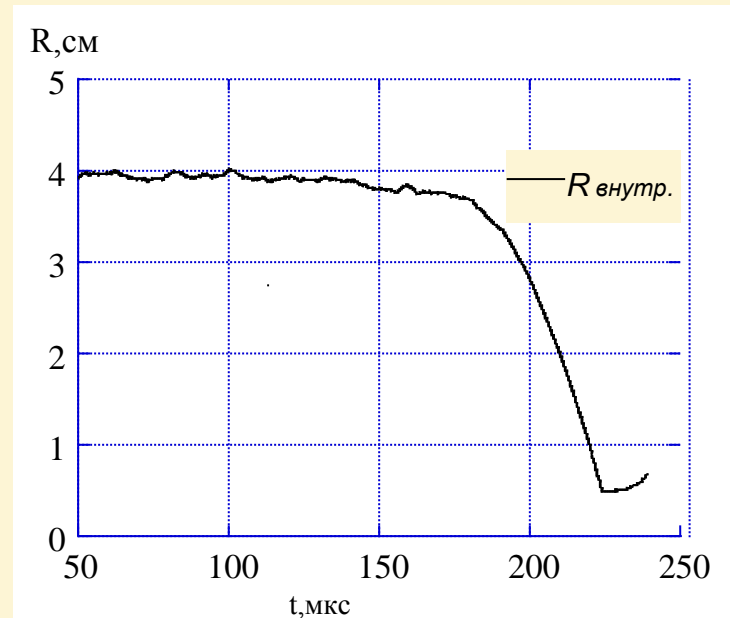


Экспериментальная установка

# (IV) Экспериментальные данные по сжатию МО



Динамика магнитной индукции на оси экспериментальной сборки



Динамика изменения внутреннего радиуса оболочки



Внешний вид оболочки после эксперимента

Оболочка сохранила осесимметричную форму при 10-кратной деформации сжатия-расширения



# (IV) Взрывомагнитный генератор на энергию 1 МДж для плазменных ускорителей

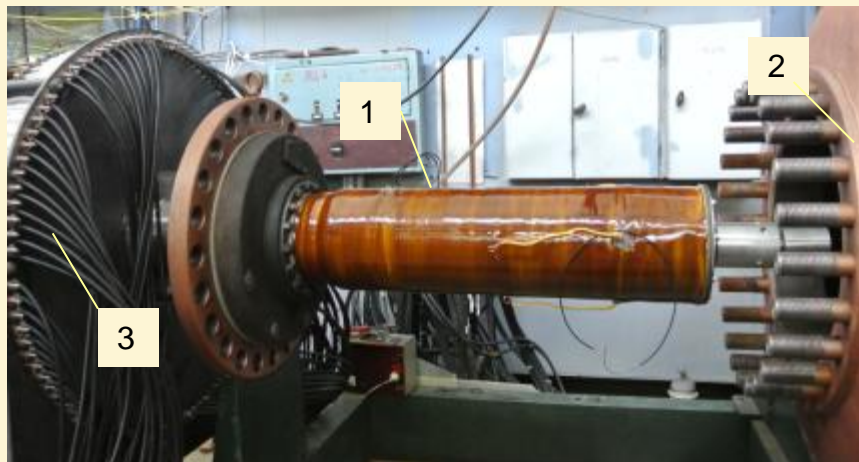


Фото ВМГ при работе на плазменный ускоритель.

Начальная энергия ВМГ  $E_0 \sim 15 - 60$  кДж.

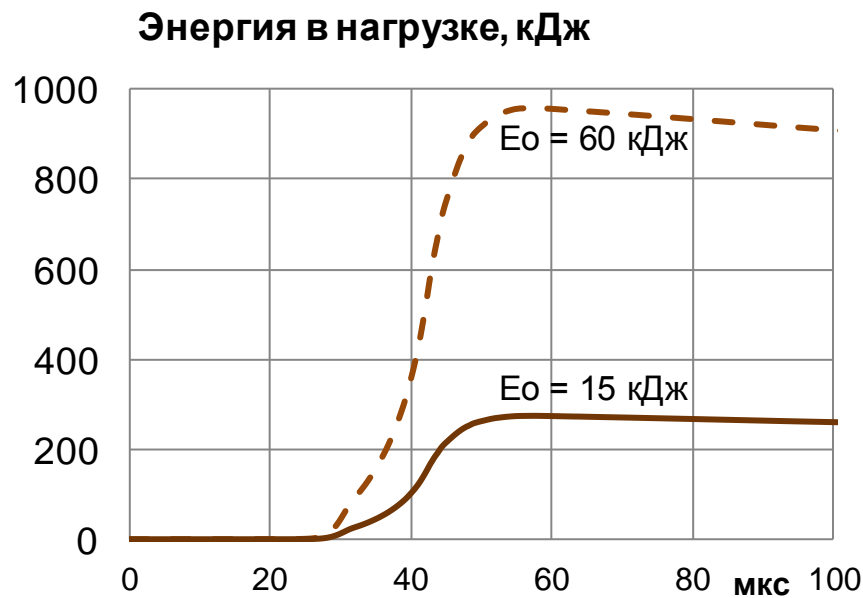
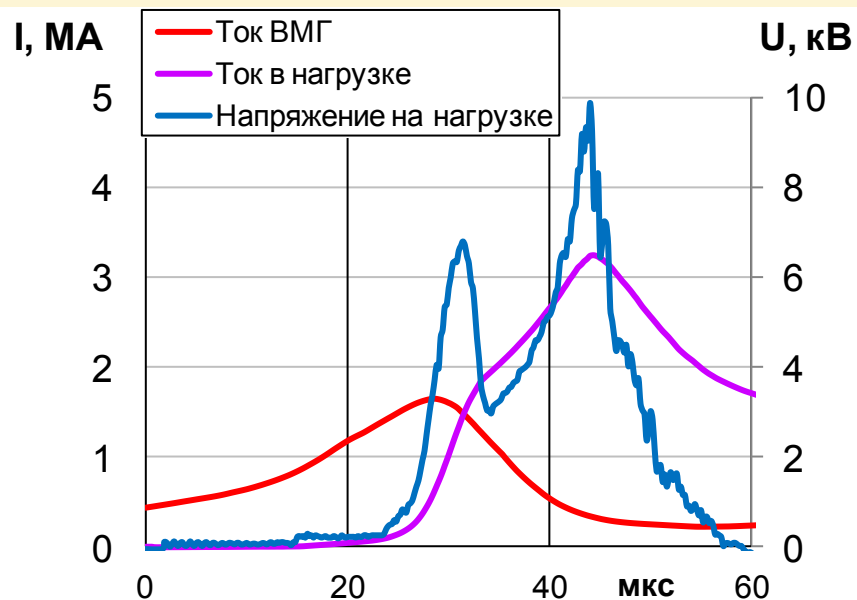
Основные элементы:

1 – взрывомагнитный генератор (ВМГ)

2 – взрывозащитная камера

3 – токовый коллектор для присоединения плазменного ускорителя

Результаты испытаний ВМГ на плазменный ускоритель с переменной индуктивностью 40 – 130 нГн





(I)

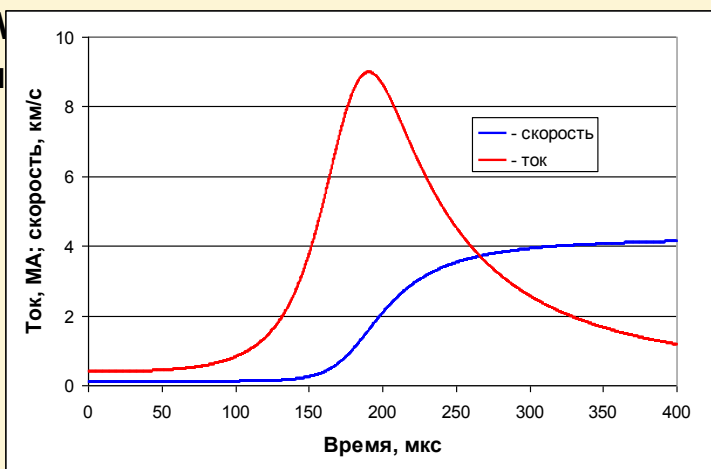
# Расчетно-экспериментальные исследования плазодинамических ускорителей макротел

3. Проведена глубокая модернизация емкостного накопителя для рельсового ускорителя. Число независимых секций накопителя уменьшено с 8 до 3, энергия накопителя увеличена с до 1,2 МДж, вдвое снижены потери на коммутацию.

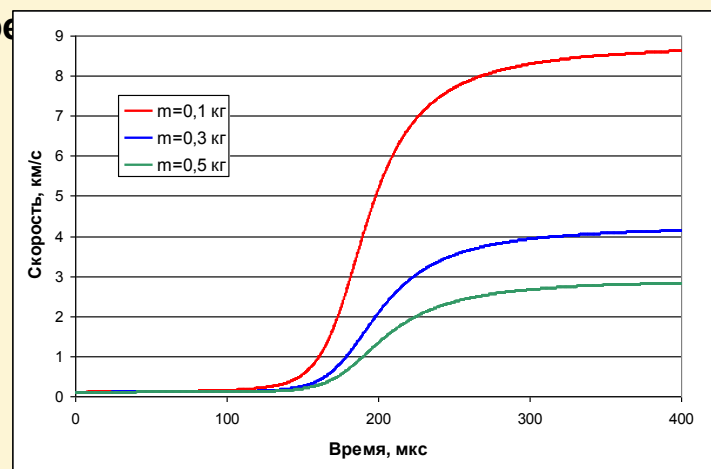
4. Разработана схема метания «тяжелых» ударников массой от 0,1 кг в рельсовом ускорителе с ВМГ как источником энергии. Расчеты показывают, что при использовании ВМГ с энергией



5 М  
кМ



3 кг пре



Расчет «идеального» режима работы рельсотрона, источник энергии – двухкаскадный ВМГ  
Рельсотрон подключен ко второму каскаду ВМГ с начальным током, генерируемый первым каскадом, 400 кА, скорость ударника на входе в рельсотрон – 0,1 км/с

В 2015 г. планируется экспериментальная проверка разработанного метательного комплекса.

(I)

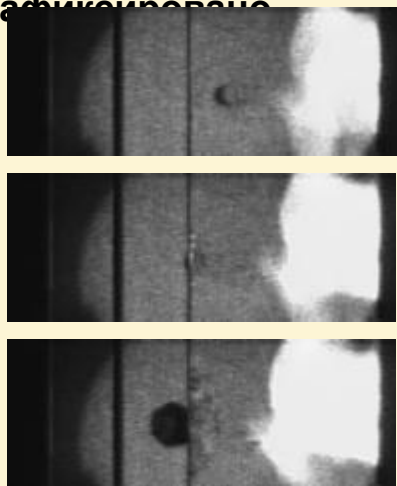
# Расчетно-экспериментальные исследования плазодинамических ускорителей макротел

1. Проводилась отладка элементов конструкции коаксиального плазодинамического ускорителя, на базе которого может быть создана мобильная метательная установка с источником питания от ВМГ. Найдены решения, которые обеспечивают динамическую прочность электродного узла при давлении порядка 1 ГПа.



2. Оработана конструкция комбинированного ударника в виде обоймы из поликарбоната и насадки из дюралю. Показано, что такие ударники могут разгоняться в магнитоплазменном ускорителе до скорости свыше 3 км/с с ускорением порядка 1 Mg.

На кадрах съемки с лагом 10 мкс представлено начало разрушение составной мишени из трех дюралевых пластин подобным ударником массой 3,1 г. Две пластины пробиты насквозь, на третьей, толщиной 10 мм, - видна вмятина от удара дюралевой насадки, на ее тыльной стороне зафиксировано



Н = 5 мм



Н = 5 мм



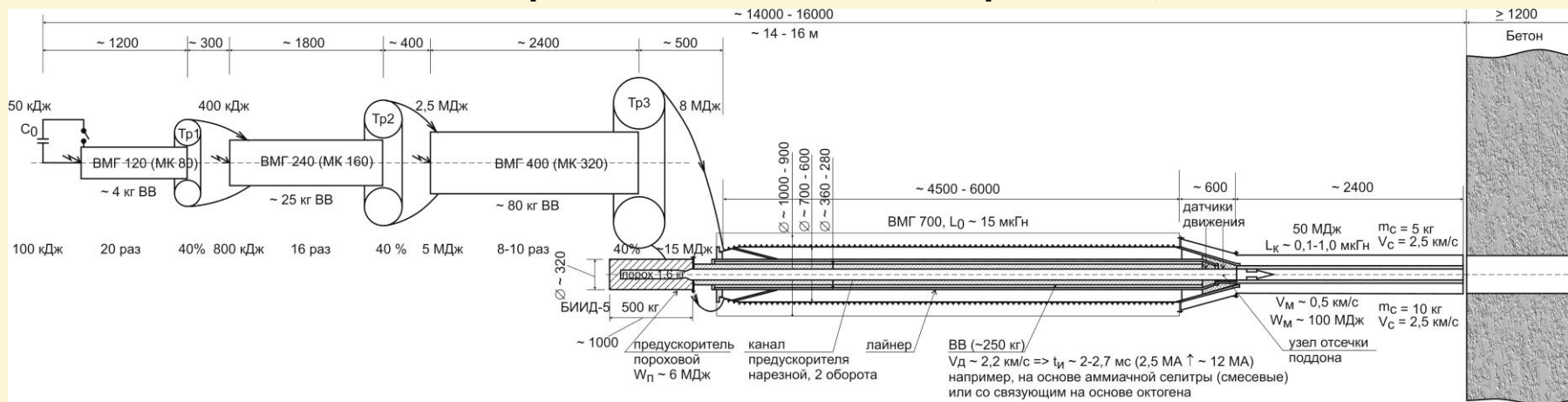
Н = 10 мм

Пластины составной мишени после «выстрела»

(I)

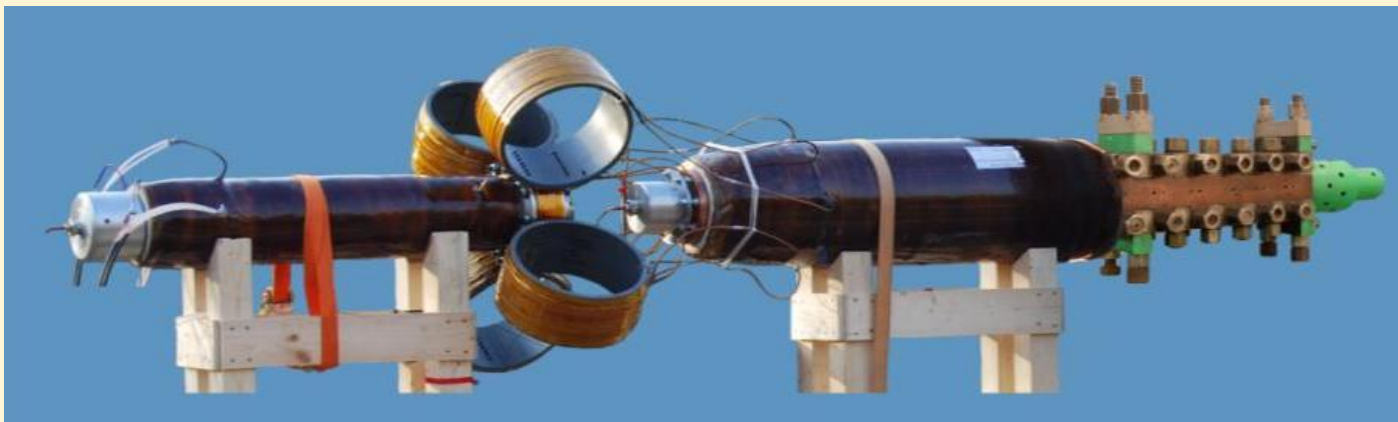
# Расчетно-экспериментальные исследования плазмодинамических ускорителей макротел

Перспективная схема рельсотрона с запиткой от четырехкаскадного ВМГ для метания снаряда массой 10 кг со скоростью 2,5 км/с



На первом этапе предполагается провести эксперименты по метанию «пули» массой 100 г  
Расчетная скорость – 3 км/с

При этом будет использован двухкаскадный ВМГ с выходной энергией до 4 МДж, разработанный в 2014 г.



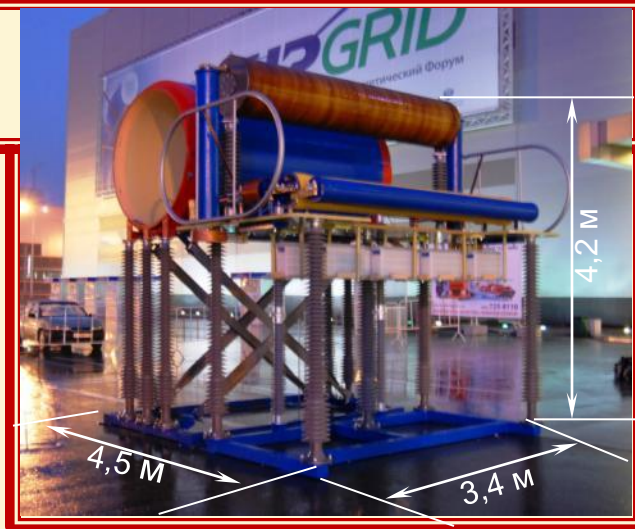
(V)

## ТОУ-220

В сентябре 2014 г. получено положительное заключение НТС «Россети» развить технологии токоограничения на основе взрывных коммутаторов по проекту «ТОУ-220 кВ с функцией АПВ»

Разработан технический проект системы интеграции ТОУ-220 с АСУ подмосковной ПС «Каскадная»

Заключен договор ОАО «НТЦ ФСК ЕЭС» «на разработку рабочей (технической) документации, поставку оборудования и материалов по титулу: «Расширение ПС 500 кВ Каскадная. Установка токоограничивающего устройства (ТОУ) 220 кВ» для нужд филиала ОАО «ФСК ЕЭС» - МЭС Центра»



ТОУ -220 имеет ограничение по максимальному току  $\approx 2-3$  кА из-за цилиндрической геометрии взрывных коммутаторов



Разработаны взрывные размыкатели плоского типа на основе новых ВМ со специальными свойствами (изготовитель – ОАО «НИИ «Кристалл»)

Взрывные коммутаторы плоской геометрии могут быть рассчитаны на токи до  $\sim 30$  кА, что открывает перспективы их применения в системах защиты генераторов любой мощности (до 800 МВт)



# (VI) Разработка прибора непрерывного контроля влажности бумажно-масляной изоляции (БМИ)

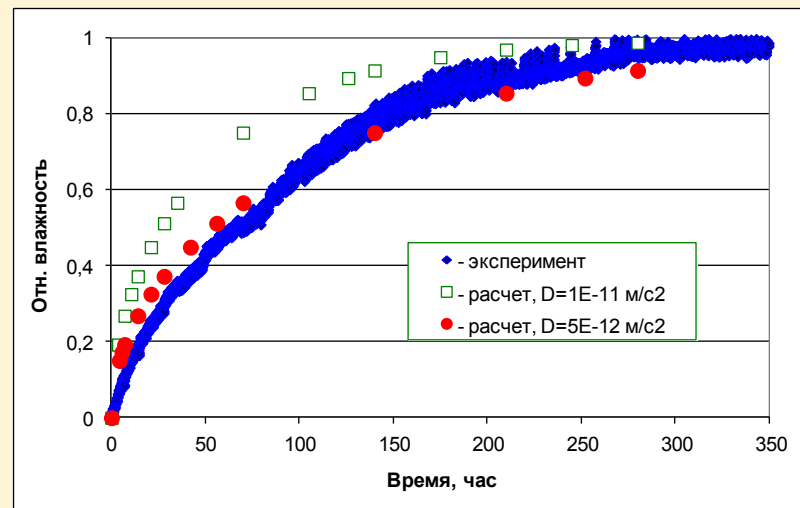
Считается недопустимой эксплуатация маслонаполненного электрооборудования при влажности БМИ свыше 2%; методы непрерывного контроля влажности БМИ отсутствуют, определение этой величины пересчетом из влажности трансформаторного масла приводит к большой погрешности.

ШФ ОИВТ РАН по заказу ОАО «ТЮМЕНЬЭНЕРГО» разработал прибор непрерывного контроля влажности (ПНКВ) БМИ, основанный на зависимости диэлектрической проницаемости БМИ от влажности (дизелькометрический метод).

## 1. Стенды для исследования процессов переноса влаги в БМИ и калибровки датчиков влажности



## 2. Калибровка датчика влажности при влажности сенсора 2 %, температура 80 °С



Весь процесс калибровки датчиков занимал 40-50 дней. Полученные значения коэффициента диффузии влаги близки к ожидаемым.

В настоящее время процессы переноса влаги в БМИ изучены явно недостаточно - по литературным данным коэффициент диффузии зависит от толщины образца (?).

# (VI) Разработка прибора непрерывного контроля влажности бумажно-масляной изоляции (БМИ)



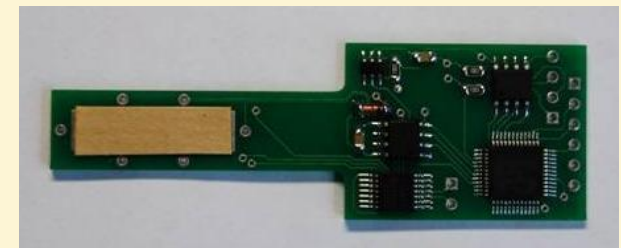
1 - датчик влажности, 2 - модуль сопряжения, к которому можно подключать до 16 датчиков влажности.

Датчик влажности и модуль сопряжения на подстанции «Каскара» ОАО «Тюменьэнерго»

Прибор непрерывного контроля влажности

## Основные характеристики прибора:

диапазон измерения влажности (по массе) до 4 %  
погрешность измерения (по массе) 0,5 %  
диапазон температур -40 °С... +90° С  
ресурс работы 80000 часов  
поддерживает протоколы обмена с АСУ верхнего уровня в стандартах МЭК 60870-5-101 и 60870-5-104



Влагочувствительный элемент датчика влажности из трансформаторного картона толщиной 0,5 мм  
Емкость измеряется с погрешностью  $10^{-15}$  Ф

Результаты работы обсуждались на заседании НТС ОАО «Россети» 12.12.2014 г. Работа одобрена. Предложено расширить опытно-промышленную эксплуатацию на большем количестве объектов (до 4-х) со сдвигом срока окончания работ до 01.09.2015 г. (**реальное импортозамещение !!!**)

Отв. исполнитель: к.ф.- м.н. Полищук Владимир Павлович

# Финансово экономические показатели

## Доходы

	2011 г.	2012 г.	2013 г.	2014 г.
Базовое финансирование (субсидии)	10 984,0	12 902,8	13 622,7	<b>15 471,7</b>
Хоздоговора	38 313,2	29 250,0	29 250,0	<b>92 880,6</b> <b>(20 050,0)</b>
Аренда	172,5	226,8	267,7	<b>267,7</b>

## Среднемесячная заработная плата (штатные сотрудники)

		К-во	2011 г.		2012 г.		2013 г.		2014 г.	
Научные сотрудники	ГБ	8	18 815	40 443	25 643	43 948	29 085	50 437	26 977	90 104
	ВНБ		21 628		18 305		21 352		63 127	
Инженеры	ГБ	12	16 488	31 827	19 338	30 035	19 247	31 849	23 041	64 287
	ВНБ		15 339		10 697		12 602		41 246	
АУП	ГБ	5	22 723	40 919	26 757	39 747	27 894	39 244	31 571	65 701
	ВНБ		18 206		12 990		11 350		34 130	
Рабочие	ГБ	8	15 114	30 537	17 754	28 507	18 987	27 974	19 766	46 948
	ВНБ		15 423		10 753		8 987		27 182	
<b>ИТОГО</b>		<b>33</b>	Ср. ЗП	<b>35 932</b>	Ср. ЗП	<b>35 559</b>	Ср. ЗП	<b>37 376</b>	Ср. ЗП	<b>66 556</b>



# Публикации ШФ ОИВТ РАН в 2014 г.

**Всего публикаций – 21 ( 8 научных сотрудников)**

**В том числе:**

**рецензируемые журналы и сборники – 4**

**нерецензируемые журналы – 1**

**доклады на международных и российских конференциях – 13**

**тезисы докладов на международных и российских  
конференциях – 3**

**Средний ПРНД 2013 года – около 20 (максимальный – 50)**